

УДК 66.081.6-278

ОЧИСТКА ВОЗДУХА ОТ ОРГАНИЧЕСКИХ СОЕДИНЕНИЙ С ПОМОЩЬЮ НАНОФИЛЬТРАЦИОННОЙ КОМПОЗИЦИОННОЙ МЕМБРАНЫ НА ОСНОВЕ АЦЕТАТА ЦЕЛЛЮЛОЗЫ И КОММЕРЧЕСКОЙ МЕМБРАНЫ МАРКИ ОПМН-П

© 2023 г. Д. Д. Фазулин^a, *, Г. В. Маврин^a, И. Г. Шайхиев^b

^aКазанский федеральный университет, просп. Мира, 68/19, Набережные Челны, Россия

^bКазанский национальный исследовательский технологический университет, ул. Карла Маркса, 68, Казань, Россия

*e-mail: denr3@yandex.ru

Поступила в редакцию 03.08.2022 г.

После доработки 05.09.2022 г.

Принята к публикации 07.10.2022 г.

Для разделения паровоздушной смеси, содержащей органические соединения использовали нанофильтрационные мембранны. Мембранны получили на подложке из фильтровальной бумаги методом полива трехкомпонентным раствором полимера. Поверхностные слои наносились на подложку, последовательно чередуя этапы сушки мембранны. Полученная мембрана обладает гидрофильными свойствами, пористость полученной мембранны составляет 51%. Толщина мембранны, установленная методом СЭМ, составила 98 мкм. Задерживающую способность мембранны исследовали по разделению модельных смесей этанол—воздух и бензин—воздух. Проницаемость мембранны композиционной мембранны МАЦЗ при разделении паровоздушной смеси этанол—воздух составила $11.0 \text{ м}^3/\text{м}^2\text{ч}$ при давлении 0.5 МПа. Высокая задерживающая способность композиционной мембранны МАЦЗ установлена по ксиолам, толуолу и гептану, по остальным соединениям эффективность не более 90%. Средняя задерживающая способность полученной мембранны составила 87%. Сравнительные испытания по установлению параметров газоразделения при аналогичных условиях провели с коммерческой мембранный марки ОПМН-П.

Ключевые слова: нанофильтрация, композиционная мембрана, ацетат целлюлозы, очистка воздуха, разделение газов, промышленные выбросы, этанол, углеводороды

DOI: 10.31857/S2218117223010029, EDN: HICQLE

ВВЕДЕНИЕ

Промышленные выбросы в атмосферу наносят негативное воздействие, в результате поступления загрязняющих веществ в атмосферу происходит их накопление и трансформация, что приводит к возникновению над промышленными районами смога — густого тумана состоящего из твердых частиц, дыма и органических соединений. Основными источниками поступления органических соединений в атмосферу кроме автотранспорта являются химическая, нефтехимическая и нефтедобывающая промышленность, фармацевтическая промышленность, автозаправочные станции и хранилища топлив, полиграфическое и лакокрасочная промышленность, также окрасочные камеры машиностроительных производств вносят вклад в загрязнение атмосферы органическими соединениями.

Технологии очистки промышленных выбросов от органических соединений обработки осно-

ваны на методах абсорбции, конденсации, на скрубберах, на поглощении твердыми сорбентами типа активированного угля, на основе химической сорбции и сжигании отходящих газов в камерах дожига при высоких температурах. Так же есть методы очистки воздуха от органических соединений методами каталитического окисления, окисления озоном, обработка плазмой и мембранные методы газоразделения. Но чаще всего очистка воздуха от органических соединений проводится термическими методами в газовых камерах дожига при рабочей температуре 1200–1400°C. Однако эффективность термической обработки оказывается не высокой из-за больших энергетических затрат и загрязнения атмосферы продуктами сжигания природного газа и органических соединений: оксидов азота, оксида и диоксида углерода, золы и других соединений.

Мембранные методы разделения газов имеют ряд преимуществ по сравнению с другими, это энергетическая и экономическая эффективность,

поскольку не требует фазового перехода требующего значительных затрат энергии, непрерывная работа при низкой скорости потока. Также мембранные технологии имеют преимущество перед методами окисления, в которых летучие органические соединения трансформируются в парниковые газы [1]. Мембранные разделение паров и газов используется для очистки газов от выбросов производственных предприятий, а также для улавливания углекислого газа из выбросов электростанций [2–5].

Для удаления органических соединений, содержащихся в воздухе, используют полимерные мембранны из полиамида, поливинилиденфторида, полиэфираамида, полисульфона, полимида, поликарбоната, ацетата целлюлозы (АЦ) [6–9]. Чаще всего для разделения газовых сред применяются мембранны в форме полых волокон [10, 11].

В работе [12] покрытые полидиметилсилоксном мембранны из полиэфираамида использовали для удаления летучих органических соединений из воздуха. Разделение ацетона, этилацетата и этанола от воздуха провели с мембранным модулем из полых волокон.

Мембранны на основе из ацетата целлюлозы также применяют для процессов газоразделения. В работе [13] мембранны из ацетата целлюлозы использовали для разделения газовой смеси водород – углекислый газ при давлении 0.25 МПа, селективность разделения составила 0.83. А в работе [14] исследовали разделение смеси метан – углекислый газ с помощью поливолоконной мембранны из ацетата целлюлозы.

В настоящее время в области мембранных процессов разделения часто используют композиционные мембранны [15, 16]. Так, в работах [17, 18] были получены композиционные мембранны с поверхностным слоем из ацетата целлюлозы на разных полимерных подложках и исследовались их свойства.

Растет интерес к мембранным технологиям особенно для улавливания углеводородов в нефтехимической промышленности и в химической промышленности для улавливания ценных мономеров.

Но мембранные технологии в процессах разделении паровоздушных смесей имеют некоторые недостатки, это: снижение селективности мембранны в результате набухания. Так же на процессы мембранныго разделения влияют различные факторы: температуры, трансмембранное давление, расход и состав газа [1, 19].

АЦ отвечает основным требованиям для получения полупроницаемых мембранны, он обладает превосходными пленкообразующими свойствами, высокой проницаемостью, температурной стабильностью и низкой сорбирующей активностью органических соединений. Также АЦ обла-

дает относительное низкой стоимость материала по сравнению с такими полимерами как полиамид, полиэфирсульфон, полисульфон, поликариамид. Кроме того ацетат целлюлозы легко подвергается биодеструкции [20].

Цель данной работы заключается в исследовании возможности применения нанофильтрационной композиционной мембранны с поверхностным слоем из ацетата целлюлозы для очистки воздуха от летучих органических соединений.

Новизна работы заключается в способе получения композиционной мембранны из АЦ на подложке бумаги путем погружения основы в раствор АЦ в ацетоне с этанолом и в установлении параметров очистки воздуха от летучих органических соединений.

ЭКСПЕРИМЕНТАЛЬНАЯ ЧАСТЬ

Мембранны получены на подложке из фильтровальной бумаги “синяя лента” на поверхность, которой наносили последовательно три слоя из ацетата целлюлозы (АЦ). Для формирования поверхностного покрытия мембранны одну из сторон подложки из фильтровальной бумаги погружали в 5%-ный раствор АЦ в ацетоне. Для приготовления раствора использовали порошковый АЦ обладающий следующими свойствами: плотность 1.28 г/см³, молекулярная масса – 25000–110000 г/моль, массовая доля связанной уксусной кислоты – 54–56%. В качестве порообразователя использовали этанол. Первоначально бумажную основу полностью погружали в раствор ацетата целлюлозы. Последующие поверхностные слои получали на одной стороне мембранны, для предотвращения попадания раствора на вторую сторону мембранны наклеивали бумажную клейкую ленту. После сушки мембранны при комнатной температуре клейкую ленту удаляли. Заключительной стадией является сушка мембранны, которую проводили первоначально при комнатной температуре, затем – при температуре 40°C в сушильном шкафу.

Коммерческая композиционная нанофильтрационная мембрана отечественного производства на полиамидной основе ОПМН-П является доступной, изготавливается в форме пленок и имеет близкие характеристики с полученными мембранными по удельной проницаемости, разделение проходит при относительно не высоких рабочих давлениях (0.5 МПа), в связи с данным обстоятельством в сравнительных испытаниях использовали коммерческую мембранны ОПМН-П.

Характеристики мембранны:

- максимальная температура разделяемой среды до 45°C;
- размер удаляемых частиц – 100 Да;

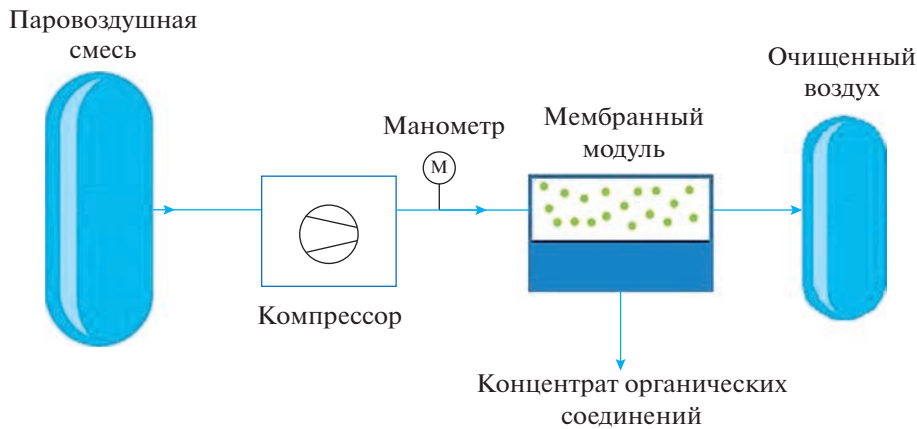


Рис. 1. Схема разделения воздушной смеси органических соединений с помощью композиционных мембран.

- подложка мембраны — нетканый полипропилен;
- поверхностный слой — на полиамидной основе;
- минимальная производительность по дистиллированной воде (при температуре 25°C) — 100 дм³/м² ч;
- селективность по 0.2% раствору MgSO₄ — 98.5%.

Массовое содержание АЦ в мемbrane определяли весовым методом по разнице масс исходной полупроницаемой основы и после нанесения композиционного слоя с помощью аналитических электронных весов марки “CAS CAUW-220D”. Класс точности весов по ГОСТ Р 53228-2008 специальный (I), погрешность измерения ±0.0001 г.

Общую пористость мембран измеряли путем пропитки образца дистиллированной водой и определением массы до и после пропитки. По полученным данным рассчитывали общая пористость по формуле:

$$\Pi = \frac{(m_k - m_0)}{Vp_{\infty}} \times 100\% = \frac{\frac{m_k - m_0}{p_{\infty}}}{\frac{m_k - m_0 + m_0}{p_t}} \times 100\%,$$

где: ρ_{∞} — плотность жидкости; ρ_t — плотность мембраны; m_0 — масса исходной мембраны; m_k — масса мембраны после пропитки дистиллированной водой.

Определении общей пористости мембраны проводили смачиванием образцов в дистиллированной воде, так как подложка мембраны и композиционный слой гидрофильные, то полученные значения общей пористости мембран могут быть завышены.

Методом сидячей капли проведены исследования краевого угла смачивания мембран с использованием аппарата “Kruss DSA 20E”. Погрешность измерения согласно паспорту прибора составляет ±0.1°.

Микрофотографии поверхности и бокового склона исходной подложки и композиционной мембраны получены с помощью сканирующего электронного микроскопа (СЭМ) марки “LEO-1430 VP”, Carl Zeiss, Германия. Тип используемого детектора — SE детектор вторичных электронов. Точность измерения линейный размеров составляет 20 нм.

Процесс очистки воздуха, содержащего органические соединения провели с помощью композиционной мембраны МАЦЗ и коммерческой мембраны марки ОПМН-П на лабораторной установке мембранныго разделения, состоящей из емкости с органическим соединением, компрессора, манометра, мембранныго элемента и тедларового пакета для сбора очищенного воздуха. Процесс мембранныго разделения проводили в следующих условиях: исходная газо-воздушная смесь — 1) воздушная смесь этанола (масса этанола 0.785 г, объем воздуха 3 дм³), 2) воздушная смесь очищенного бензина (масса бензина 0.736 г, объем воздуха 3 дм³); рабочее давление — 0.4–0.5 МПа; температура газо-воздушной смеси 24.8°C; скорость подачи паровоздушной смеси 310 см³/мин; площадь мембраны 0.0016 м². Для приготовления паровоздушной смеси использовали атмосферный воздух предварительно очищенный от органических примесей с помощью фильтра “Хроматэк 20.0-01”.

Принципиальная схема процесса разделения газо-воздушной смеси представлена на рис. 1.

Для оценки эффективности процесса очистки воздуха определяли удельную производительность мембран по паровоздушной смеси, определяли задерживающую способность мембраны по

Таблица 1. Свойства мембран

Мембрана	Содержание АЦ, % (по массе), (<i>n</i> = 2)	Общая пористость, % (<i>n</i> = 2)	Толщина мембраны, мкм	Краевой угол смачивания мембран, град (<i>n</i> = 5)
Бумажный фильтр	—	71.4 ± 1.2	119.0 ± 0.02	30.1 ± 0.1
МАЦЗ	47.5 ± 0.8	51.0 ± 0.9	129.9 ± 0.02	69.0 ± 0.1
ОПМН-П	—	42.3 ± 0.8	—	70.1 ± 0.1

органическим соединениям: этанол, ацетон, гексан, гептан, бензол, толуол, ксиолы, этилбензол. Концентрацию последних в исходном и очищенном газо-воздушном смеси определялась методом газовой хроматографии на портативном газовом хроматографе марки ФГХ-1 производства НПФ «ЭКАН» с фотоионизационным детектором (ФИД) с криптоновой вакуумной ультрафиолетовой лампой. Характеристики процесса хроматографического исследования состава паровоздушной смеси:

- фотоионизационный детектор (ФИД) с криптоновой вакуумной ультрафиолетовой лампой;
- капиллярная разделительная колонка с внутренним диаметром 0.22 мм, длиной 25 м, неподвижная фаза – SE-30;
- температура термостата колонок в режиме измерения 60°C;
- устройство ввода проб – кран-дозатор;
- подвижная фаза газ-носитель – азот особо чистый сжатый по ГОСТ 9293-74, скорость потока газа-носителя 1.3 см³/мин.

Молекулярную рефракцию органических соединений определили как сумма атомных рефракций всех атомов и связей в молекуле по следующей формуле:

$$MR = \sum_i n_i MR_i,$$

где *n_i* – число атомов или связей; *MR_i* – рефракция отдельных атомов или связей. Значение рефракций отдельных атомов и связей для расчетов взяты из литературных источников.

Задерживающую способность мембран вычисляли как отношение концентраций разделяемых компонентов в исходной паровоздушной смеси и в пермеатах мембран.

РЕЗУЛЬТАТЫ И ОБСУЖДЕНИЕ

В результате последовательного нанесения трех слоев АЦ из 5%-ного раствора ацетона на поверхность основы из фильтровальной бумаги «синяя лента» получена композиционная мембрана МАЦЗ. Полученную мембрану и коммерческую мембрану ОПМН-П использовали для очистки паровоздушной смеси от органических

соединений. Свойства мембран представлены в табл. 1.

По данным табл. 1 содержание АЦ в составе мембранны МАЦЗ составило 47.5% по массе. Общая пористость бумажной подложки составляет 71.4%, а после нанесения слоя АЦ мембраны составило 51%, что выше общей пористости мембраны ОПМН-П. Толщина композиционной мембраны МАЦЗ составляет 120–130 мкм. По данным краевого угла смачивания мембранны обладают гидрофильной поверхностью. Краевой угол смачивания поверхности мембраны зависит от множества факторов, к которым можно отнести и строение поверхности мембраны, и способность поверхности к сорбции. Строение поверхности мембраны и процессы сорбции зависят от количества и размеров пор, что придает поверхности мембраны шероховатость. Таким образом пористость мембраны оказывает непосредственное влияние на краевой угол смачивания поверхности мембраны. С увеличением пористости мембран должен увеличиваться краевой угол смачивания.

На рис. 2 представленные электронные микрографии подложки из бумажного фильтра и композиционной мембраны МАЦЗ.

Основа композиционной мембраны из фильтрационной бумаги состоит из множества волокон шириной от 5 до 25 мкм (рис. 1a). После нанесения трех слоев АЦ поверхность и поры подложки покрываются ультратонким слоем. В результате погружения подложки в раствор АЦ в ацетоне (рис. 1b).

Толщина поверхностного слоя АЦ по данным рис. 1b, с составляет ≈10 мкм. Слой АЦ состоит из более плотной верхней части и более рыхлой и пористой нижней части. Таким образом, можно сказать, что композиционная мембрана МАЦЗ состоит из бумажной подложки толщиной 119 мкм, из слоя пористого АЦ толщиной 9–11 мкм и из плотного поверхностного слоя АЦ ориентированной толщиной 0.45–0.66 мкм.

Мембранны использовали для очистки паровоздушной смеси, состоящей из органических соединений. Результаты количественного химического анализа исходной газо-воздушной смеси этанол–воздух представлены табл. 2.

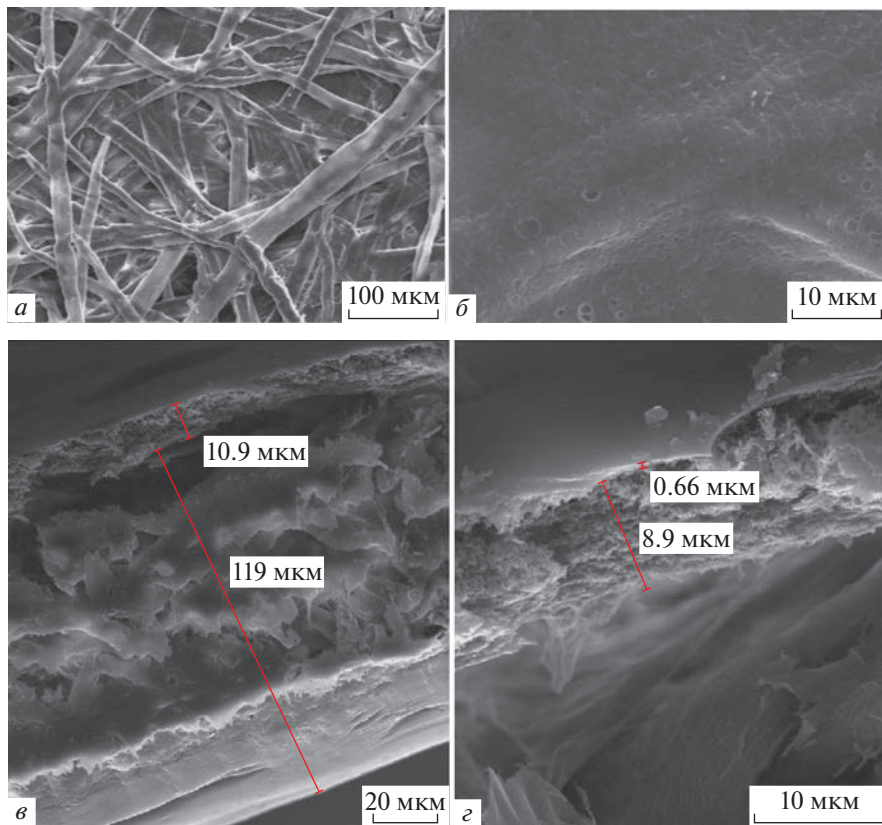


Рис. 2. Микрофотографии поверхности и бокового скола мембранны МАЦЗ: *а* – подложка мембранны, *б* – мембрана МАЦЗ, *в*, *г* – боковой скол мембранны при разном увеличении.

Концентрация этилового спирта в исходной воздушной смеси составляет $5970 \text{ мг}/\text{м}^3$, после разделения с помощью нанофильтрационной мембранны МАЦЗ концентрация этанола снижается и составляет $937 \text{ мг}/\text{м}^3$, после разделения с мембраной ОПМН-П концентрация этанола снизилась до $216 \text{ мг}/\text{дм}^3$. Концентрации остальных соединений, выявленных в результате изменения, составляет от 0.4 до $2.1 \text{ мг}/\text{м}^3$.

Проницаемость мембранны коммерческой мембранны ОПМН-П по паровоздушной смеси этанол–воздух составила $0.073 \text{ см}^3/\text{см}^2 \text{ с атм}$, у композиционной мембранны МАЦЗ проницае-

мость при одинаковых условиях оказалась чуть ниже – $0.064 \text{ см}^3/\text{см}^2 \text{ с атм}$.

Задерживающая способность композиционной мембранны МАЦЗ по этиловому спирту составляет 84.3% , у коммерческой мембранны более 96% . Фактор разделения паровоздушной смеси этанол/воздух композиционной мембранны составил 6.4 , а с коммерческой мембранный более 27 .

Так же с помощью нанофильтрационных мембран провели разделения газовой смеси бензин–этанол. Результаты измеренных концентраций до и после процесса нанофильтрации газовой смеси представлены в табл. 4.

Таблица 2. Концентрация органических соединений в исходной паровоздушной смеси и после газоразделения

Соединение	Концентрация, $\text{мг}/\text{м}^3$		
	исходная смесь	пермеат МАЦЗ	пермеат ОПМН-П
Этиловый спирт	5970	937	216
Ацетон	2.12	0.91	0.55
Этилацетат	1.28	<0.1	<0.1
Изопропиловый спирт	0.38	<0.1	<0.1
Изобутилацетат	–	0.8	–

Таблица 3. Задерживающая способность органических соединений из смеси этанол–воздух с помощью нанофильтрационных мембран

Соединение	Задерживающая способность, %		Фактор разделения, ЛОС/воздух	
	мембрана МАЦ3	мембрана ОПМН-П	мембрана МАЦ3	мембрана ОПМН-П
Этиловый спирт	84.3	96.4	6.4	27.6
Ацетон	57.1	74.1	2.3	3.9
Этилацетат	100	100	12.8	12.8
Изопропиловый спирт	100	100	3.8	3.8

Таблица 4. Концентрация органических соединений в исходной паровоздушной смеси бензин–воздух и после газоразделения

Соединение	Концентрация, мг/м ³			Фактор разделения, ЛОС/воздух	
	исходная смесь	пермеат МАЦ3	пермеат ОПМН-П	мембрана МАЦ3	мембрана ОПМН-П
Гексан	1990	248	161	8.0	12.4
Гептан	7060	614	509	11.5	13.9
Бензол	222	77.0	54.3	2.9	4.1
Толуол	100	9.9	3.8	10.1	26.3
Ксилолы	15.4	1.2	0.2	12.8	77.0
Этилбензол	3.8	0.2	<0.1	19.0	38.0

В составе модельной газовой смеси бензин–воздух методом газовой хроматографии установлено содержание следующих органических соединений в порядке уменьшения их концентрации: гептан, гексан, бензол, толуол, ксилолы, этилбензол. Разделение газовой смеси с помощью нанофильтрационных мембран МАЦ3 и ОПМН-П приводит к снижению их концентрации. Высокая задерживающая способность композиционной мембранны МАЦ3 установлена по этилбензолу, ксилолам, гептану и толуолу, по остальным соединениям эффективность ниже 90%. Задерживающая способность коммерческой мембранны выше, чем у полученной мембранны и в среднем по установленным показателям составляет 92%. Задерживающая способность у полученной мембранны в среднем составляет 87%. Основные компоненты в составе паровоздушной смеси бензин–воздух это гексан и гептан, фактор разделения данных соединений от воздуха с помощью мембранны МАЦ3 составил 9.8, при разде-

лении с помощью коммерческой мембранны марки ОПМН-П фактор разделения выше – 13.2.

Проницаемость мембранны ОПМН-П по паровоздушной смеси бензин–воздух составила 0.071 см³/см² с атм, проницаемость композиционной мембранны МАЦ3 при одинаковых условиях составила – 0.062 см³/см² с атм.

По литературным данным [21] задерживающая способность мембранны из полизифирблокамида при тупиковой фильтрации смеси азота с летучими органическими соединениями (ЛОС) составила более 90%. Селективность увеличивалась с увеличением концентрации ЛОС. В качестве ЛОС использовалась смесь спиртов и алканов. Для разделения парогазовой смеси азот–бензин в работе [22] использовали композитные мембранны из полых волокон, задерживающая способность мембранны по ЛОС достигла до 95%.

Для выявления зависимости задерживающей способности мембранны от размеров молекулы результаты сравнили с литературными данными

Таблица 5. Молярная масса, молекулярная рефракция органических соединений и задерживающая способность мембран по соединениям, присутствующим в газовой смеси бензин–воздух

Наименование соединения	Молярная масса, г/моль	Молекулярная рефракция	Задерживающая способность, %	
			НАЦЗ	ОПМН-П
Гексан	86.2	29.9	87.5	91.9
Гептан	100.2	34.5	91.3	92.8
Бензол	78.1	26.3	65.3	75.5
Толуол	92.1	30.9	90.1	96.2
Ксиолы	106.2	35.5	92.2	98.7
Этилбензол	106.2	35.5	94.7	100

молекулярной рефракции разделяемых мембраной соединений. Молекулярная рефракция мера электронной поляризуемости вещества, имеет размерность объема, по порядку величины совпадает с объемом всех молекул в граммолекуле. Таким образом, молекулярная рефракция характеризует объем молекулы вещества и связана с молярной массой вещества и его плотностью.

Результаты по задерживающей способности мембран сравнили с показателем молекулярной рефракции задерживаемых органических соединений (табл. 5, рис. 3).

С увеличением показателя молекулярной рефракции разделяемых органических соединений присутствующих в паровоздушной смеси наблюдается повышение задерживающей способности нанофильтрационных мембран (рис. 3). Коэффициент корреляции данной зависимости по результатам исследования составляет 0.74–0.76.

ВЫВОДЫ

Нанофильтрационные мембранны на бумажной подложке с поверхностным слоем из ацетата целлюлозы использовали для разделения паровоздушной смеси. Задерживающая способность мембран исследовали по разделению модельных смесей этанол–воздух и бензин–воздух. Проницаемость мембранны композиционной мембранны МАЦЗ при разделении газо–воздушной смеси этанол–воздух составила $11.0 \text{ м}^3/\text{м}^2 \cdot \text{ч}$ при давлении 0.5 МПа, что чуть ниже проницаемости коммерческой мембранны ОПМН-П. Концентрация этилового спирта в исходной воздушной смеси составила $5970 \text{ мг}/\text{м}^3$. Задерживающая способность композиционной мембранны МАЦЗ по этиловому спирту с исходной концентрацией $5970 \text{ мг}/\text{м}^3$ составляет 84.3%, у коммерческой мембранны более 96%.

При разделении паровоздушной смеси бензин–воздух методом газовой хроматографии установлено содержание следующих органических

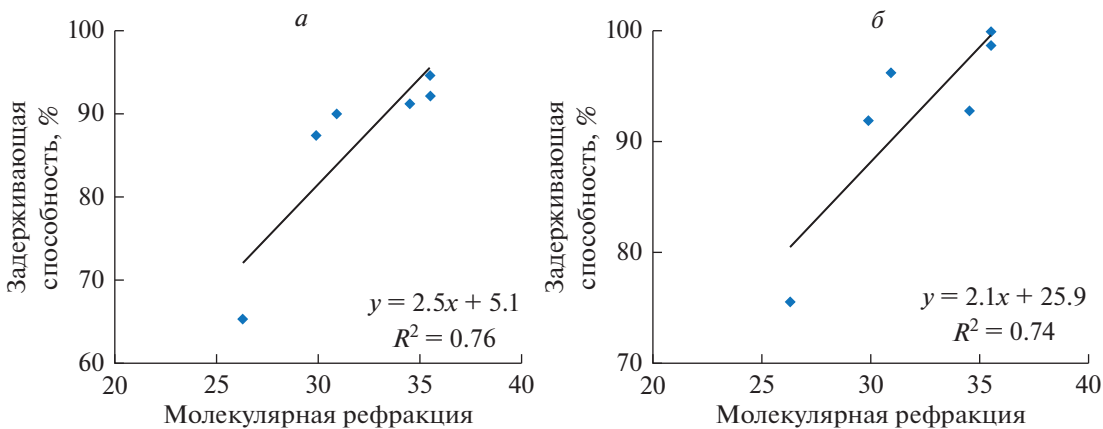


Рис. 3. Корреляция зависимости задерживающей способности мембран от показателя молекулярной рефракции разделяемых органических соединений из паровоздушной смеси: (а) мембранны МАЦЗ; (б) мембранны ОПМН-П.

соединений в порядке уменьшения их концентрации: гептан, гексан, бензол, толуол, ксиолы, этилбензол. Высокая задерживающая способность композиционной мембранны МАЦЗ установлена по ксиолам, толуолу и гептану, по остальным соединениям эффективность ниже 90%. Задерживающая способность полученной мембранны в среднем составила 87%.

Мембрана МАЦЗ показала неплохую эффективность при разделении органических соединений из воздуха, в связи данным обстоятельством возможно применение данной мембранны для очистки промышленных выбросов и воздуха рабочей зоны от алканов, углеводородов ароматического ряда и спиртов.

СПИСОК ЛИТЕРАТУРЫ

1. Petrusova Z. Separation of organic compounds from gaseous mixtures by vapor permeation / Z. Petrusova, K. Machanova, P. Stanovsky, P. Izak // Separation and Purification Technology. 2019. V. 217. P. 95–107.
2. Lee S. Separation of greenhouse gases (SF₆, CF₄ and CO₂) in an industrial flue gas using pilot-scale membrane / S. Lee, J.W. Choi, S.H. Lee // Separation and Purification Technology. 2015. V. 148. P. 15–24.
3. Freemantle M. Membranes for gas separation / M. Freemantle / Chemical & Engineering News. 2005. V. 83. P. 49–57.
4. Brunetti A.A. Membrane technologies for CO₂ separation / A.A. Brunetti, F. Scura, G. Barbieri, E. Drioli // J. Membrane Science. 2010. V. 359. P. 115–125.
5. Czyperek M. Gas separation membranes for zero-emission fossil power plants: MEM-BRAIN / M. Czyperek, P. Zapp, H.J.M. Bouwmeester, M. Modigell, K. Ebert, I. Voigt, W.A. Meulenberg, L. Singheiser // J. Membrane Science. 2010. V. 359. P. 149–159.
6. Tanihara N. Gas and Vapor Separation through Polyimide Membranes / N. Tanihara, S. Nakanishi, T. Yoshinaga // J. Japan Petroleum Institute. 2016. V. 59. P. 276–282.
7. Murali R.S. Gas Permeation Behavior of Pebax-1657 Nanocomposite Membrane Incorporated with Multi-walled Carbon Nanotubes / Murali R.S., Sridhar S., Ravikumar Y.V.L. // Industrial & Engineering Chemistry Research. 2010. V. 49. P. 6530–6538.
8. Chang P.T. Creating membrane-air-liquid interface through a rough hierarchy structure for membrane gas absorption to remove CO₂ / Chang P.T., Baharuddin I.M., Low S.C. // International J. Energy Research. 2021. P. 1–16.
<https://doi.org/10.1002/er.7500>
9. Muntha S.T. Progress in Applications of Polymer-Based Membranes in Gas Separation Technology / S.T. Muntha, A. Kausar, M. Siddiq // Polymer-Plastics Technology and Engineering. 2016. V. 55. P. 1282–1298.
10. Li G.Q. A review – The development of hollow fibre membranes for gas separation processes / G.Q. Li, W. Kujawski, S. Koter // International J. Greenhouse Gas Control. 2021. V. 104. P. 103195.
11. Boaretti C. Electrospun active media based on polyvinylidene fluoride (Pvdf)-graphene-TiO₂ nanocomposite materials for methanol and acetaldehyde gas-phase abatement / C. Boaretti, G. Vitiello, G. Luciani, A. Lorenzetti, M. Modesti, M. Roso // Catalysts. 2020. V. 10. P. 1–13.
12. Gales L. Removal of acetone, ethyl acetate and ethanol vapors from air using a hollow fiber PDMS membrane module / L. Gales, A. Mendes, C. Costa // J. Membrane Science. 2002. V. 197. P. 211–222.
13. Scholes C.A. Membrane gas separation applications in natural gas processing / C.A. Scholes, G.W. Stevens, S.E. Kentish // Fuel. 2012. V. 96. P. 15–28.
14. Pak S.H. Preparation of Cellulose Acetate Hollow-Fiber Membranes for CO₂/CH₄ Separation / S.H. Pak, Y.W. Jeon, H.C. Koh // Environmental Engineering Science. 2016. V. 33. P. 17–24.
15. Fazullin D.D. Composite Membranes with Cellulose Acetate Surface Layer for Water Treatment / D.D. Fazullin, L.I. Fazullina, G.V. Mavrin, I.G. Shaikhiev, V.O. Dryakhlov // Inorganic Materials: Applied Research. 2021. V. 12. P. 1229–1235.
16. Fazullin D.D. Parameters of Household Wastewater Treatment Using Composite Membranes with a Surface Layer of Cellulose Acetate / D.D. Fazullin, G.V. Mavrin, V.O. Dryakhlov, I.G. Shaikhiev, E.A. Golovnina // Membranes and Membrane Technologies. 2021. V. 3. P. 419–425.
17. Fazullin D.D. Effect of temperaturje and pH value of the liquid shared selectivity cation exchange membrane, nylon-PANI / D.D. Fazullin, G.V. Mavrin // Research J. Pharmaceutical, Biological and Chemical Sciences. 2015. V. 6. P. 66–71.
18. Fazullin D.D. Separation of Water-Oil Emulsions Using Composite Membranes with a Cellulose Acetate Surface Layer / D.D. Fazullin, G.V. Mavrin // Chemical and Petroleum Engineering. 2019. V. 55. P. 649–656.
19. Zhang L. Remove volatile organic compounds (VOCs) with membrane separation techniques / L. Zhang, H.X. Weng, C. J. Gao, H.L. Chen // J. Environmental Sciences. 2002. V. 14(2). P. 181–187.
20. Xu Fuqian. Preparation and Characterization of Bio-based Degradable Plastic Films Composed of Cellulose Acetate and Starch Acetate / Fuqian Xu, Yongqing Zhang, Zhibin Fei, Shaobin Huang, Jiazhi Yin // J. Polymers and the Environment. 2015. V. 23. P. 383–391.
21. Liu Li. Separation of VOCs from N₂ using poly(ether block amide) membranes / Li Liu, Amit Chakma, Xianshe Feng, Darren Lawless // Canadian J. Chemical Engineering. 2009. V. 87(3). P. 456–465.
22. Liu Yujing. Separation of gasoline vapor from nitrogen by hollow fiber composite membranes for VOC emission control / Yujing Liu, X. Fenga, Darren Lawless // J. Membrane Science. 2006. V. 271. Issues 1–2. P. 114–124.

Air Cleaning from Organic Compounds Using a Nanofiltration Composite Membrane Based on Cellulose Acetate and a Commercial Membrane of OPMN-P Brand

D. D. Fazullin¹, *, G. V. Mavrin¹, and I. G. Shaikhiev²

¹Kazan (Volga region) Federal University, prosp. Mira, 68/19, Naberezhnye Chelny, Russia

²Kazan National Research Technological University, ul. Karl Marx, 68, Kazan, Russia

*e-mail: denr3@yandex.ru

Nanofiltration membranes were used to separate the vapor–air mixture containing organic compounds. The membrane was obtained on a filter paper substrate by pouring with a three-component polymer solution. The surface layers were deposited on the substrate by sequentially alternating the stages of membrane drying. The resulting membrane has hydrophilic properties, the porosity of the resulting membrane is 51%. The membrane thickness determined by SEM was 98 μm . The retention capacity of the membranes was studied by separating model mixtures of ethanol–air and gasoline–air. The membrane permeability of the MAC3 composite membrane during separation of the ethanol–air vapor-air mixture was $11.0 \text{ m}^3/\text{m}^2\text{h}$ at a pressure of 0.5 MPa. The high retention capacity of the MAC3 composite membrane was established for xylenes, toluene, and heptane; for other compounds, the efficiency is no more than 90%. The average retention capacity of the resulting membrane was 87%. Comparative tests to establish gas separation parameters under similar conditions were carried out with a commercial membrane brand OPMN-P.

Keywords: nanofiltration, composite membrane, cellulose acetate, air purification, gas separation, industrial emissions, ethanol, hydrocarbons